НАДЕЖНОСТЬ, ПРОЧНОСТЬ, ИЗНОСОСТОЙКОСТЬ МАШИН И КОНСТРУКЦИЙ

УДК621.86 + 06

ТРИБОЛОГИЧЕСКИЕ И ТЕРМОДИНАМИЧЕСКИЕ СВОЙСТВА ВЫСОКОЭНТРОПИЙНЫХ СПЛАВОВ CrMnFeCoNi, CuCrMnFeCoNi, ИХ СТАБИЛЬНОСТЬ И ПРОГНОЗ СТРУКТУРЫ

© 2024 г. В. И. Колесников 1 , А. А. Гуда 1 , И. В. Колесников 1 , С. А. Гуда 1 , К. Н. Политыко $^{1,\ *}$, Ю. А. Абзаев 2

¹ Ростовский государственный университет путей сообщения, Ростов-на-Дону, Россия ² Томский государственный архитектурно-строительный университет, Томск, Россия *e-mail: politykokirill@yandex.ru

Поступила в редакцию 16.04.2024 г. После доработки 13.06.2024 г. Принята к публикации 15.06.2024 г.

Высокоэнтропийные покрытия на основе 3d-металлов обладают уникальным сочетанием прочности и пластичности в широком температурном диапазоне, и могут быть получены по технологии вакуумного ионно-плазменного магнетронного напыления. Однако модельные расчеты термомеханических свойств таких сплавов осложнены отсутствием в литературе стабильных и равновесных решеток с полной структурной информацией. В статье реализован прогноз стабильности фаз эквиатомного высокоэнтропийного покрытия CrMnFeCoNi методом обратных выпуклых оболочек, определены термодинамические, механические свойства. Обнаружено, что вплоть до комнатной температуры к стабильным фазам относится также среднеэнтропийный, 4-х элементный сплав состава MnFeCoNi.

Ключевые слова: CrMnFeCoNi, MnFeCoNi, высокоэнтропийные сплавы, механические, трибологические, термодинамические свойства, стабильность высокоэнтропийных сплавов

DOI: 10.31857/S0235711924050038, **EDN:** NUCPIK

Использование функциональных покрытий в тяжелонагруженных трибосистемах в авиации, на транспорте, в машиностроении характеризуется повышенным вниманием к проблемам трения и износа. Актуальность этого обусловлена безопасностью и надежностью работы узлов трения, а также стремлением к экономии дорогостоящих материалов для узлов трения, в которых рабочей зоной является поверхность трибосопряжения. Эти проблемы можно решить путем нанесения вакуумных ионно-плазменных износостойких покрытий на контактные поверхности. Объектом исследований были выбраны высокоэнтропийные сплавы (ВЭС) — до настоящего времени недостаточно изученный класс материалов. Исследовательские усилия были направлены не только на изучение физико-механических и трибологических характеристик ВЭС, но и их стабильности в широком температурном диапазоне. Роль температуры в механизме трения и износа является определяющей и характеризующей прочностные и деформационные свойства материалов.

Высокоэнтропийные материалы с эквиатомным содержанием компонентов характеризуются высокой конфигурационной энтропией, низкой атомной диффузией, решеточными искажениям и формированием простых кубических решеток (ГЦК, ОПК, ГПУ) [1-9]. В работе [1] впервые было показано, что CoCrFeMnNi является однофазным и характеризуется заметной микроструктурной стабильностью в течение длительного времени. Обнаружено, что при растяжении предел текучести, предел прочности и удлинение до разрушения одновременно увеличиваются при понижении температуры от комнатной и до 77 К. Установлена высокая вязкость разрушения [2]. Особенности мехсвойств CoCrFeMnNi связывают, как правило, с особенностями упругих характеристик сплава, медленной кинетикой диффузий при повышенных температурах. Интерес к ВЭС также связан с исключительными прочностными характеристиками при высоких температурах, пластичностью, ударной вязкостью при криогенных температурах [7]. В связи с отсутствием кристаллографической базы ВЭС в литературе, существенно осложнено изучение структурного состояния ВЭС методом Ритвельда [10, 11], а также модельных термодинамических, механических свойств ВЭС различного элементного состава. В литературе отсутствуют сведения о ВЭС CoCrFeMnNi с полной кристаллографической информацией: пространственной группой, координатами атомов, параметрами решеток, занятости узлов и т.д. Как следствие, невозможно исследование термодинамических, механических свойств материалов. Представляется актуальным идентификация структур ВЭС — CrMnFeCoNi, и на их основе изучение термодинамических, механических свойств при конечных температурах. Прогноз равновесных, стабильных решеток однофазного сплава CrMnFeCoNi можно реализовать методом обратной выпуклой оболочкой [12] (InverseHubWeb) в интервале температур $T = 300 - T_{\rm melt}$ K, эволюционным кодом USPEX [13, 14] с интерфейсом VASP, равновесные состояния в коде vaspkit [15]. Последующие ab intio расчеты структурных, термодинамических характеристик решеток в коде Phonopy [16], Vasp на суперкомпьютере Blochi.

Целью статьи является прогноз структурного и равновесного состояния, стабильности ВЭС — CrMnFeCoNi с простой кубической (ПК) решеткой. Анализ энергии, энтропии смешения двойных сплавов вблизи температуры плавления в рамках модели Миедема, а также энтропии смешения 5-ти элементного состава CrMnFeCoNi. Прогноз стабильных фаз CrMnFeCoNi эволюционным методом, температурных интервалов стабильности InveseHubWeb кодом в интервале температур $T = 300 - T_{\rm melt}$ К. Исследование термодинамических, механических свойств ВЭС CrMnFeCoNi с ПК решеткой в широком температурном интервале, а также физико-механических и трибологических свойств покрытия CuCrMnFeCoNi.

Материалы, методы исследований. Появление нового класса материалов — высокоэнтропийных сплавов (ВЭС) объясняется тем, что если сформировать много-компонентную систему в виде однофазного твердого раствора замещения, то его конфигурационная составляющая энтропии будет на порядок выше остальных составляющих. При этом энергия Гиббса такой системы становится минимальной и придает системе высокую термодинамическую устойчивость. Причем, чем большее число компонентов n замешано в растворе, тем выше устойчивость системы (минимальным набором считается n=4-5). При этом сплав может считаться высокоэнтропийным, если он удовлетворяет следующим критериям: разница атомных размеров (атомных радиусов компонентов δ должна находиться в пределах $0 \le \delta \le 8.5\%$); энтальпия смешения ΔH_{mix} должна находиться в пределах: $7 \le \Delta H_{\text{mix}} \le 22 \text{ кДж/моль}$; энтропия смешения ΔS_{mix} в пределах: $11 \le \Delta S_{\text{mix}} \le 19.5 \text{ Дж/(K·моль)}$. ΔS_{mix} определяется по Больцману: $\Delta S_{\text{mix}} = -R \sum_{i=1}^{n} c_i \ln c_i$, при эквиатомной концентрации компонентов $C_i = 1/n$ и $\Delta S_{\text{mix}} = R \ln(n)$, где R = 8.314 Дж/(K·моль) — универсальная газовая постоянная. С ростом количества компонентов n эквиатомного состава энтропия

смешения $\Delta S_{\rm mix}$ — растет: так при n=5, $\Delta S_{\rm mix}=13.8$ Дж/(К·моль); при n=10, $\Delta S_{\rm mix}=19$ Дж/(К·моль).

Для усиления трибологического акцента покрытия в состав порошковых мишеней CrMnFeCoNi была введена медь: CuCrMnFeCoNi. Таким образом, состав реальных мишеней, с которых осуществлялось напыление покрытий на образцы, соответствовал эквиатомной концентрации компонентов системы CuCrMnFeCoNi. При этом увеличение количества компонентов до 6 повышает показатель энтропии смешения до значения $\Delta S_{\text{mix}} = 15 \text{ Дж/(K·моль)}$ и исследуемая система становится еще более высокоэнтропийной.

Нанесение покрытий системы CuCrMnFeCoNi осуществлялось в режиме магнетронного напыления с помощью вакуумной установки BRV600 (производитель OOO «БелРосВак», г. Минск, Беларусь) оснащенной мощным ионным источником. Покрытие наносилось на образцы из конструкционной стали 40XH2MA. Физико-механические характеристики стали 40XH2MA после закалки и низкого отпуска с мартенситной структурой составляют $H = 5.2 \, \Gamma \Pi a$; $E = 200 \, \Gamma \Pi a$; H/E = 0.026 — сопротивление упругой деформации; $H^3/E^2 = 0.00352 \, \Gamma \Pi a$ — сопротивление пластической деформации.

В магнетроне были использованы мишени, изготовленные методом порошковой металлургии. Образцы из стали 40XH2MA выполненные в виде пластины размерами $50\times30\times5$ мм, перед стадией нанесения покрытия подверглись ионному травлению с помощью Ar+ при давлении в камере ~0.7 Па, температуре ~400°С и напряжении смешения 1000 В в течение пяти минут.

Для исследования физико-механических образцов в нано- и микромасштабе применялась измерительная платформа «NanoTest 600». По методу непрерывного индентирования [17] определяли модуль упругости E и твердость H, а также H/E и H^3/E^2 . При измерениях в микродиапазоне (нагрузка менее 2H— глубина отпечатка более 0.2 мкм) применялся четырехгранный индентор Виккерса, для работы в нанодиапазоне (глубина отпечатка не более 0.2 мкм) — трехгранный индентор Берковича. Условия испытаний и обработка полученных данных осуществлялась в соответствии с ГОСТ 8.748—2011 [18].

Трибологические испытания покрытий проводились на машине трения TRB по схеме «штифт—пластина» либо при возвратно-поступательном движении пластины (образец с покрытием) с частотой 10 Гц и амплитудой 800 мкм, либо при радиальном движении по окружности диаметром 6 мм. Нормальное усилие на штифте варьировалось дискретно и составляло 1.5 и 10 Н. Контробразец представлял собой закрепленный в штифте шарик диаметром 6.35 мм из Кермета (твердого сплава) WC—Co. В силу того, что шарик неподвижен в штифте, испытания относятся к типу трения скольжения. Продолжительность испытания составляла 50000 циклов. Определяли такие трибологические параметры, как коэффициент трения μ , интенсивность объемного износа образца J и контртела JK, а также длину пути (дорожки трения) L, пройденного образцом до разрушения покрытия и измеряемого в метрах.

Исследование стабильности сплава CrMnFeCoNi эквиатомного состава можно реализовать методом InverseHubWeb [12]. В InverseHubWeb проводятся аb intio расчеты свободной энергии структур на основе кластерного метода [12]. Стабильность фаз известного эквиатомного состава определяется на основе расчетов энергии формирования и смешения в выпуклых оболочках одиночных ВЭС на базе эталонов Material Project. Детали оценок обсуждаются в работе [12]. В методе InverseHubWeb резудьтаты представляются на плоской 2D-диаграмме с осями энергия образования и смешения (рис. 1), уровень последней определяется движущей силой фазового разделения ВЭС на низкокомпонентные реактанты. Сплавы с энергией смешения, превышающей нулевой уровень относятся к квазистабильным структурам. Вершинами многомерных выпуклых оболочек являются стабильные фазы (реактанты вы-

пуклой оболочки), или интерметаллические сплавы из кристаллографической базы Material Project. Состав фаз на качественном уровне характеризуется формой и цветовой градацией маркеров, а стрелки и их ширина свидетельствуют о направлении реакций соседних сплавов и долю фаз. С формой маркеров связано число компонент в фазе. Стабильность сплавов определяется выражением [12]

$$\Delta G = \Delta H - TS,$$

$$\Delta S_{ss} = k_B \sum_{i=1}^{n} x_i \ln x_i = R \ln(n),$$
(1)

где G— свободная энергия Гиббса; ΔH — энтальпия смешения; ΔS_{ss} — энтропия смешения твердых растворов; x_i — молярная доля i-го элемента в ВЭС. С учетом разделения на низкомпонентные реактанты

$$\Delta S_{ss} = R \ln \left(\frac{n}{n-1} \right).$$

Энтальпия ΔH n-атомной смеси равна

$$\Delta H = \sum_{i} \sum_{i>j} \Omega_{i,j} x_i x_j = \sum_{i} \sum_{i>j} \Omega_{i,j} \left(\frac{1}{n}\right)^2, \tag{2}$$

где $\Omega_{i,j}$ — бинарное взаимодействие, и для эквиатомного состава определяется выражением [18]

$$\Omega_{i,j} = 4 \left[E_{ij}^{SQS} - \frac{1}{2} \left(E_i - E_j \right) \right], \tag{3}$$

где E^{SQS}_{ij} — энергия бинарной решетки, определяемой из первых принципов в рамках кластерного приближения в ATAT [19]; E_i , E_j — энергии решеток компонентов. Результаты расчетов стабильности по формуле (1) приведены на рис. 1. Стабильность сплава CrMnFeCoNi оценивалась в температурном интервале $\Delta T = 300-1795$ К. Энтальпия образования, смешения оказываются в целом отрицательными. Однако энтальпия смешения при температурах ниже ~800 К находится вблизи нулевого уровня, и, следовательно, 5-ти элементный сплав CrMnFeCoNi склонен к релаксации. Поиск решеток CrMnFeCoNi с полной структурной информацией можно реализовать эволюционным методом USPEX [13, 14]. В статье в коде USPEX исследовались эталоны эквиатомного фиксированого состава CrMnFeCoNi и MnFeCoNi. Прогноз был реализован при следующих условиях: доля поколений, генерируемая из случайных структур, и обусловленная наследственностью составляла 0.3 и 0.5 соответственно, генерация из мутаций -0.2. Доля текущего поколения, которая использовалась для генерации следующего поколения, была равной 0.6. В каждой генерации были рассмотрены популяции из 30 атомов, начальное число было также равно 30 атомам. Расчеты производились с шестью шагами оптимизации в рамках функционала электронной плотности в градиентном псевдопотенциале электронной плотности (GGA) в коде VASP. Полная энергия решеток определялась при 0 К. Расчеты орбиталей электронных состояний, распределение одноэлектронной плотности и энергии основного состояния проводились самосогласованным образом. Волновые функции валентных электронов атомов фаз разных поколений анализировались в базисе плоских волн с радиусом обрезания кинетической энергии в 330 эВ. В этом случае сходимость полной энергии составляла $\sim 0.5 \cdot 10^{-6}$ эВ/атом. Равновесное состояние, температурные зависимости термодинамических, механических свойств рассчитывались в vaspkit [15], phonopy [16] с интерфейсом Vasp. Входными данными были решетки CrMnFeCoNi, MnFeCoNi как в исходном состоянии, так и после объемного деформирования.

Результаты и обсуждение.

- По физико-механическим характеристикам покрытия CuCrMnFeCoNi следует отметить, что уровень его прочностных свойств находится на уровне закаленной стали 40ХН2МА с достаточно высоким сопротивлением как упругой (в 1.5 раза), так и пластической деформации (в 2.5 раза), что существенно отражается на адгезионных свойствах покрытие-подложка.
- Использование магнетронного способа нанесения покрытия CuCrMnFeCoNi по сравнению с другими ВЭС покрытиями позволило: 1) увеличить скорость осаждения покрытий; 2) получать покрытия большой толщины (h = 10-15 мкм); 3) обеспечить при заданных условиях трибологических испытаний (V = 1 мм/c, N = 5 H) высокую износостойкость и малый коэффициент трения ($\mu = 0.07 - 0.1$).
- 3. Для оценок энтальпии $H_{\rm mix}$ ВЭС CrMnFeCoNi необходимо воспользоваться следующими двойными сплавами с кубической решеткой: AlNi, AlNb, AlTi, AlCo, NiNb, NiTi, NiCo, NbTi, NbCo, TiCo. Температура плавления двойных сплавов оценивалась по формуле

$$T_{\text{melt}} = \sum c_i T_i,$$

где T_i — температура плавления элементов сплава CrMnFeCoNi. Для металлов Cr, Mn, Fe, Co, Ni, температуры равны $T_{\rm melt}$ = 2136, 1519, 1811, 1768, 1728 K соответственно. Эффективные температуры плавления CrMnFeCoNi, MnFeCoNi найденные по формуле (2) равны $T_{\text{melt}} = 1792$, 1706 К соответственно. Температуры плавления двойных сплавов приведены в табл. 1. На основе полученных значений $T_{\rm melt}$ и известных элементов была определена энтальпия смешения, а также энтропийный вклад в свободную энергию двойных сплавов в рамках модели Miedema [20], результаты расчетов приведены в табл. 1. Необходимо отметить, что не все из списка двойных сплавов оказываются стабильными. В частности, к нестабильным сплавам относятся CrMn, MnFe. Методом InverseHubWeb было установлено, что однофазный ВЭС — CrMnFeCoNi является стабильным ниже температуры плавления. Интересным оказывается то, что сплав MnFeCoNi также стабилен, причем вплоть до $T \approx 300 \text{ K}$. Результаты стабильности ВЭС — CrMnFeCoNi представлены на рис. 1.

В статье поиск решеток CrMnFeCoNi, а также MnFeCoNi был реализован эволюционным методом в USPEX [13, 14]. В процессе прогноза было обнаружено около 300 и 420 эталонов фиксированных составов CrMnFeCoNi, CrMnFeCoNi соответственно, из которых были выбраны структуры ортогонального класса с пространственными группами 47 и 25 соответственно. После конвертирования до P1, оценок

| Таблица 1. Эффективная температура плавления двойных сплавов | | | | | | | |
|--|--------------------|-----------------------|-----------------------|--|--|--|--|
| Двойные сплавы | $T_{\rm melt}$, K | ΔH , кДж/моль | ΔS , кДж/моль | | | | |
| CrMn | 1827.5 | 2.139 | 10.54 | | | | |
| CrFe | 1973.5 | -1.444 | 11.37 | | | | |
| CrCo | 1952 | -4.305 | 11.25 | | | | |
| CrNi | 1932 | -6.387 | 11.13 | | | | |
| MnFe | 1665 | 0.286 | 9.59 | | | | |
| MnCo | 1643.5 | -4.929 | 9.469 | | | | |
| MnNi | 1623.5 | -7.739 | 9.354 | | | | |
| FeCo | 1789.5 | -0.5491 | 10.31 | | | | |
| FeNi | 1769.5 | -1.47 | 10.2 | | | | |
| CoNi | 1748 | -0.206 | 10.7 | | | | |

энергии решеток в коде CASTEP, детали кода обсуждаются в [21], были выделены решетки эквиатомного состава CrMnFeCoNi, MnFeCoNi с наименьшей энергией, для которых дополнительно определялось равновесное состояние в коде vaspkit [15]. Представленные решетки в табл. 1 соответствуют стабильным и равновесным состояниям.

Необходимо отметить также, что для всех ПК решеток известны координаты атомов, однако вследствие большого объема эти данные в статье не приводятся. В табл. 2 приведены энергии равновесных решеток, вычисленные в коде CASTEP.

В статье было проведено исследование энергии ПК решеток в зависимости от вариации объема на основе уравнения состояния. Термодинамическое уравнение

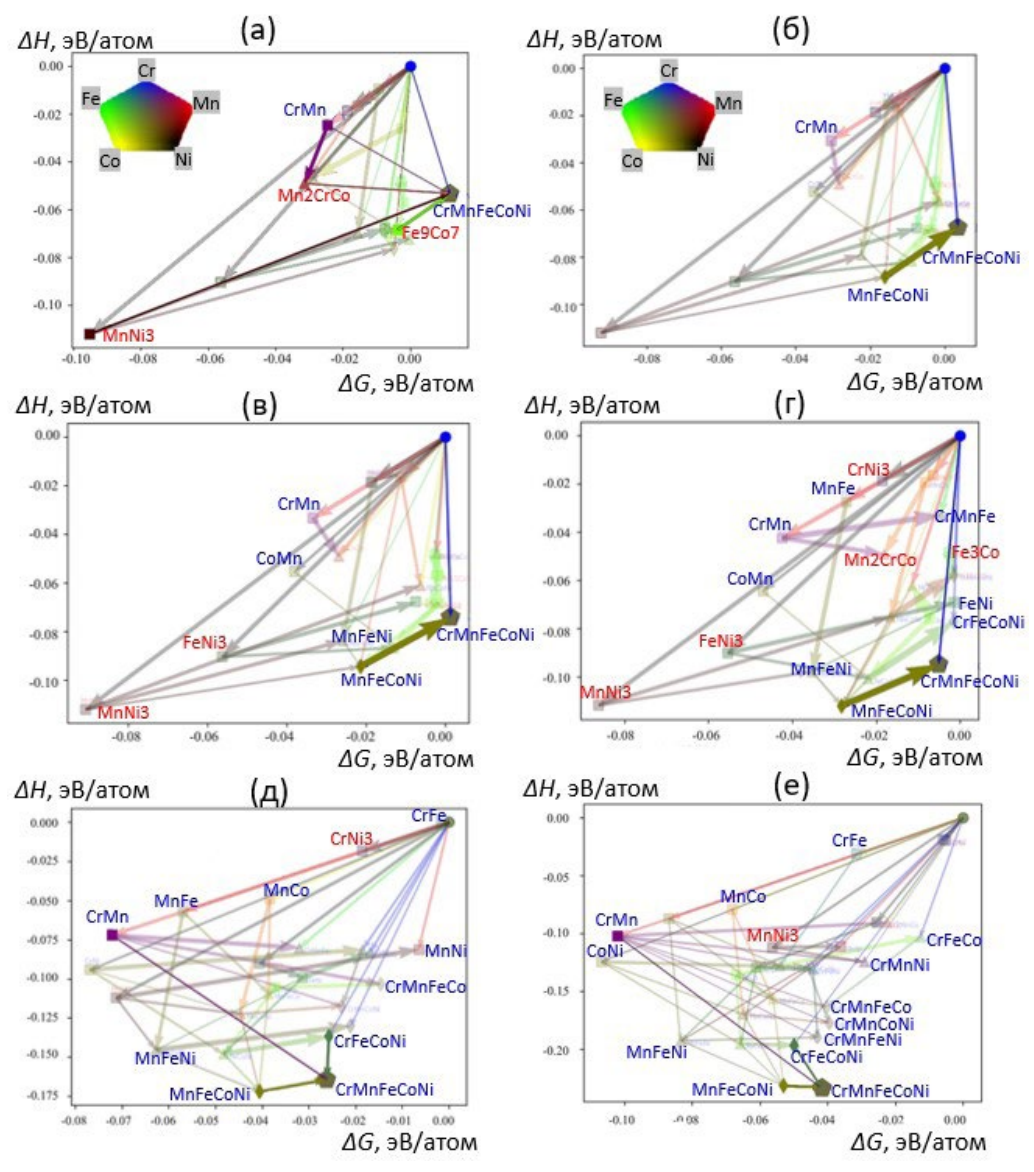


Рис. 1. Обратная выпуклая оболочка ВЭС — CrMnFeCoNi при разных температурах: (a) — T = 700 K; (б) — T = 800 K; (в) — T = 850 K; (г) — T = 1000 K; (д) — T = 1500 K; (e) — T = 1795 K.

| 2. 0.1pjjp2.0 impunio.1p2. 2.0.0 | | | | | | | | | |
|----------------------------------|--------|--------|--------|-------|------|-------|---------------------------|---------------|-------------|
| Фаза | a, Å | b, Å | c, Å | alpfa | beta | gamma | <i>V</i> , Å ³ | <i>F</i> , эВ | Space group |
| CrMnFeCoNi | 4.1853 | 4.1853 | 4.1853 | 90 | 90 | 90 | 73.315 | -6375.86 | <i>P</i> 1, |
| MnFeCoNi | 3.4759 | 3.4759 | 3.4759 | 90 | 90 | 90 | 41.997 | -3915.67 | Triclinic |

Таблица 2. Структурные параметры ВЭС

состояния (EOS), связывающее внутреннюю энергию, давление и объем решетки, играет важную роль в предсказании структурных, термодинамических свойств материалов при высоких температурах, которое позволяет, в частности, поиск и определение равновесного состояния решетки. На первоначальном этапе в статье было использовано уравнение в формулировке Vinet [15]

$$F=F_0+\frac{BV_0}{C^2}\Biggl[1-\Biggl(1+C\Biggl(V^{\frac{1}{2}}-1\Biggr)\Biggr)e^{C\Biggl(V^{\frac{1}{2}}-1\Biggr)}\Biggr],$$
 где $V=\frac{V}{V_0}$; V_0 и F_0 — объем и энергия при нулевом давлении соответственно. Значе-

где $V = \frac{V}{V_0}$; V_0 и F_0 — объем и энергия при нулевом давлении соответственно. Значения объемного модуля упругости B и его производная по давлению B_p были найдены после аппроксимацией (3) зависимости энергии от объема решетки, параметры аппроксимации приведены в табл. 3.

В рамках квазигармонического приближения (QHA) свободная энергия Гельмгольца записывается в виде

| Таблица 3. Параметры аппроксимации в модели Vinet | Таблица 3. Па | раметры апп | роксимации | в модели | Vinet |
|--|---------------|-------------|------------|----------|-------|
|--|---------------|-------------|------------|----------|-------|

| Фаза | V_0 , Å ³ | <i>F</i> ₀ , эВ | B_0 , ГПа | B'_p |
|------------|------------------------|----------------------------|-------------|--------|
| CrMnFeCoNi | 73.316 | -31.575 | 129.583 | 2.249 |
| MnFeCoNi | 41.996 | -29.128 | 254.813 | 2.745 |

$$F(V,T) = E_0(V) + F_{\text{vib}}(V,T) + F_{\text{elec}}(V,T),$$

где E_0 — энергия решетки при 0 K; $F_{\rm vib}$, $F_{\rm elec}$ — фононный и электронный вклады в свободную энергию; V — текущий объем решетки. Фононный вклад в свободную энергию определяется из фононной плотности состояний

$$F_{\mathrm{vib}}\left(V,T\right) = k_{B}T\sum\nolimits_{q,\lambda}\ln\{2\sin h\left(\frac{\hbar\omega_{q,\lambda}\left(V\right)}{2k_{B}T}\right)\},\label{eq:Fvib}$$

где k_B , h и $\omega=2\pi v$ — постоянная Больцмана, постоянная Планка и частота соответственно. Суммирование проводится по всем фононным ветвям и волновым векторам 1-й зоны Бриллюэна. Электронный вклад $F_{\rm elec}$ при низких температурах, как правило, незначителен, поэтому его коррекция не производилась. Фононная удельная теплоемкость определяется по формуле

$$C_{\rm v}^{\rm vib} = \sum_{q,\lambda} k_B \cosh^2 \left(\frac{\hbar \omega_{q,\lambda} (V)}{2k_B T} \right)^2.$$

Если известна температурная зависимость расширения решетки $\alpha(T)$, или параметр Грунайзена, тогда на основании уравнения EOS возможно вычислить различные термодинамические характеристики. В коде Phonopy используется уравнение EOS в формулировке Берча—Мурнагана [16]

$$F(V) = F_{eq} + \frac{BV_0}{B_p} \left[\frac{\binom{V_{eq}}{V}^{B_p}}{B_p - 1} - 1 \right] - \frac{BV_0}{B_p - 1},$$

где F_0 , B, V_0 и B_p — аппроксимирующие параметры. Параметр Грунайзена γ равен производной динамической матрицы по объему, зависящей также от волновых векторов известных фононных ветвей в первой зоне Брюллиена. Температурная зависимость $\gamma(T)$ позволяет предсказать параметр $\alpha(T)$, а также удельную теплоемкость C_v . Результаты расчетов термодинамических, механических характеристик ВЭС — CrMnFeCoNi, MnFeCoNi приведены на рис. 2 и 3.

Термодинамические свойства ВЭС — CrMnFeCoNi, MnFeCoNi (рис. 2г, 3г) были рассчитаны в модели Дебая, а остальные свойства в рамках QHA приближения (учтено температурное расширение решеток). Результаты не были нормированы на число атомов. Из полученных результатов следует, что с ростом температуры энергия решетки в равновесном состоянии в ВЭС — CrMnFeCoNi, MnFeCoNi значительно снижа-

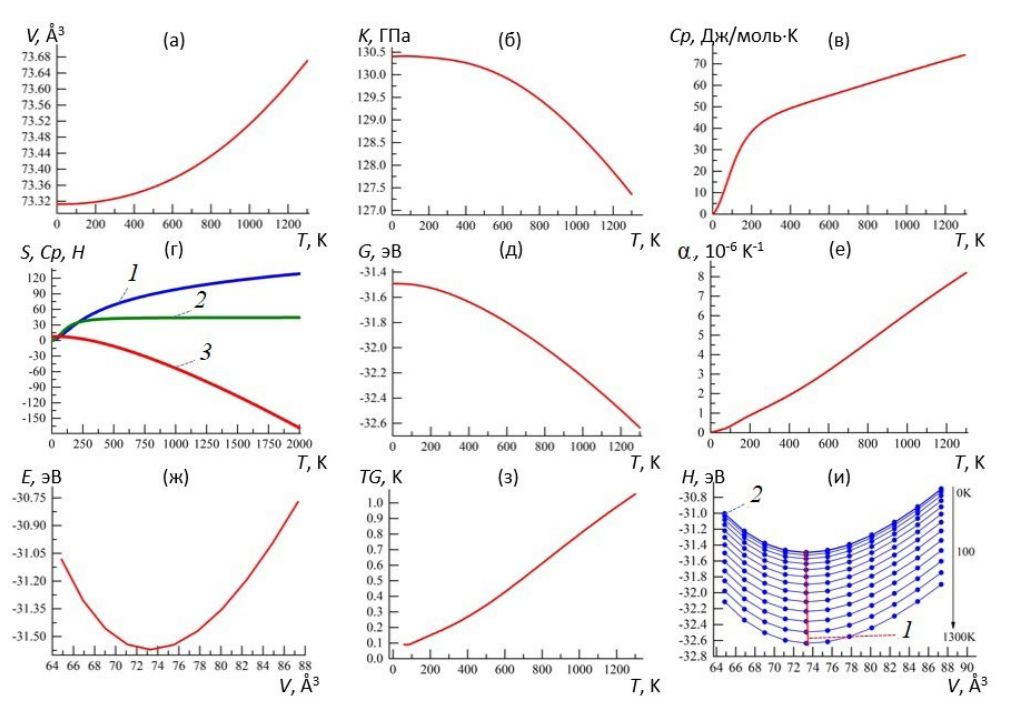


Рис. 2. Термомеханические свойства ВЭС — CrMnFeCoNi в зависимости от температуры: (а) — объем решетки; (б) — объемный модуль упругости; (в) — удельная теплоемкость; (г) — термодинамические свойства: 1— энтропия S, Дж/К/моль, 2 — фононная удельная теплоемкость C_v, Дж/К/моль, 3 — энтальпия H, кДж/моль; (д) — энергия Гиббса; (е) — коэффициент термического расширения; (ж) — энергия элементарной ячейки в зависимости от объема; (з) — коэффициент Грюнайзена; (и) — свободная энергия решетки от объема при разных температурах: равновесная свободная энергия 1 и зависимость свободной энергии от объема при различных температурах 2.

ется. Заметно возрастают объем решетки, коэффициент термического расширения, объемный модуль упругости, параметр Грюнайзена, в котором наблюдается слабое отклонение от линейной зависимости. Удельная теплоемкость существенно возрастает в исследуемом температурном интервале, причем наиболее интенсивный рост обнаружен в интервале до ~300 K. В сплаве MnFeCoNi интенсивность роста, оказывается существенно ниже, чем в BЭС — CrMnFeCoNi при высоких температурах. Значительно уменьшается свободная энергия Гиббса с ростом температуры. Вызывают интерес температурные зависимости энтропии и объемных модулей упругости. В 5-элементном ВЭС энтропия примерно в два раза меньше, чем в 4-х элементном сплаве. В 4-элементном ВЭС — MnFeCoNi объемный модуль ($B \sim в 2$ раза) существенно превышает значение для ВЭС — CrMnFeCoNi при всех исследованных температурах. Нормированные свободные энергии решеток BЭС — CrMnFeCoNi, MnFeCoNi в температурном интервале $T \approx 0-800$ К изменяются в пределах $F \approx -6.3 - (-6.5), -7.4 - (-7.63)$ эВ/атом соответственно. Ab initio расчеты свободных энергий свидетельствуют, о том что равновесные BЭС — CrMnFeCoNi, MnFeCoNi относятся к квазистабильным и стабильным сплавам, однако CrMnFeCoNi склонен к релаксации в направлении среднеэнтропийного состава, а MnFeCoNi, вследствие более высоких значений объемного модуля упругости предпочтителен на практике. Детальный анализ механических свойств в коде vaspkit, показал, что MnFeCoNi с гранецентрированной решеткой относится к высокопрочным материалам. Про-

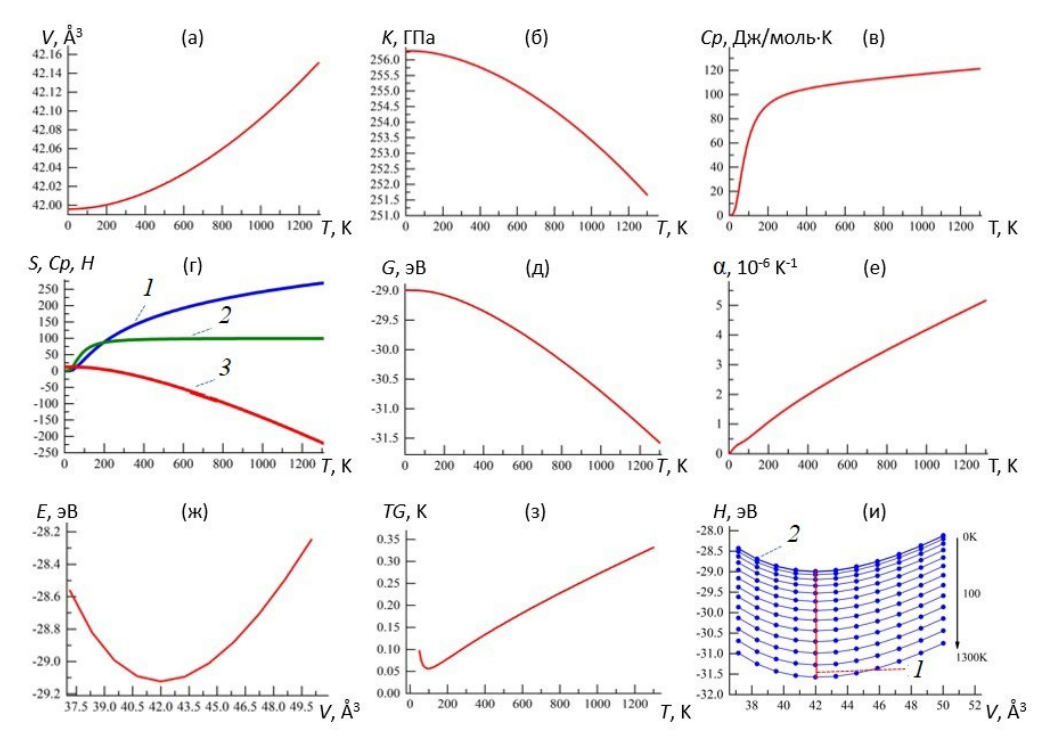


Рис. 3. Термомеханические свойства ВЭС — MnFeCoNi в зависимости от температуры: (а) — объем решетки; (б) — объемный модуль упругости; (в) —удельная теплоемкость; (г) — термодинамические свойства: I — энтропия S, Дж/К/моль, 2 — фононная удельная теплоемкость C_v , Дж/К/моль, 3 — энтальпия H, кДж/моль; (д) — энергия Гиббса; (е) — коэффициент термического расширения; (ж) — энергии элементарной ячейки в зависимости от объема при 0 K; (з) — коэффициент Грюнайзена; (и) — равновесная свободная энергия I и зависимость свободной энергии от объема при различных температурах 2.

странственное распределение атомов в решетке сплавов MnFeCoNi и CrMnFeCoNi представлен на рис. 4.

Из расчетов упругих констант из первых принципов, представленных в табл. 4, следует, что объемный модуль упругости, модуль Юнга и сдвига как для монокристаллов, так и поликристаллов характеризуются высокими значениями.

| | | 9 | | | |
|---------|---------|---------|---------|---------|---------|
| 394.192 | 210.412 | 198.504 | 0.000 | 0.000 | 0.000 |
| 210.412 | 390.368 | 171.549 | 0.000 | 0.000 | 0.000 |
| 198.504 | 171.549 | 389.176 | 0.000 | 0.000 | 0.000 |
| 0.000 | 0.000 | 0.000 | 153.476 | 0.000 | 0.000 |
| 0.000 | 0.000 | 0.000 | 0.000 | 200.852 | 0.000 |
| 0.000 | 0.000 | 0.000 | 0.000 | 0.000 | 218.400 |

Таблица 4. Тензор упругих констант C_{ii} ВЭС MnFeCoNi (ГПа)

ВЭС MnFeCoNi механически стабилен, и склонен к хрупкому разрушению. Механические свойства ВЭС — MnFeCoNi представлены в табл. 5.

| Пополеть | | Поликристаллы | | | | |
|------------------------|---------|---------------|-------------|--------|---------|---------|
| Параметр | Минимум | Максимум | Анизотропия | Voigt | Reuss | Hill |
| Объемный модуль (ГПа) | 236.117 | 300.622 | 1.273 | 259.41 | 258.791 | 259.099 |
| Модуль Юнга (ГПа) | 245.093 | 457.864 | 1.868 | 385.88 | 348.772 | 367.494 |
| Модуль сдвига (ГПа) | 90.432 | 218.392 | 2.415 | 154.10 | 136.732 | 145.415 |
| Коэф. Пуассона | -0.011 | 0.503 | -45.404 | 0.25 | 0.275 | 0.264 |

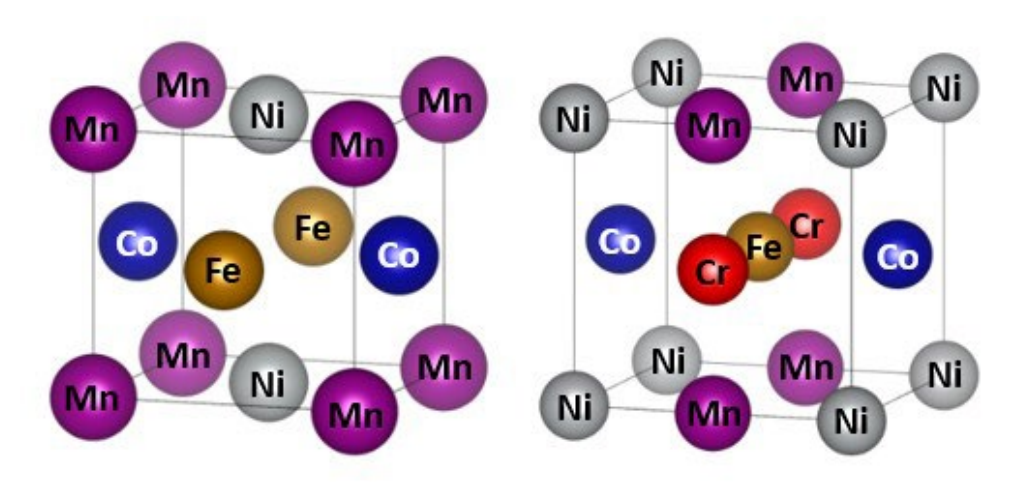


Рис. 4. Пространственное распределение атомов в решетке: (a) — MnFeCoNi; (б) — CrMnFeCoNi.

Для сплава выполнены следующие условия механической стабильности:

$$C_{11}, C_{44}, C_{55}, C_{66}$$
 — знакоположительны; $C_{11} \cdot C_{22} > C_{12}^2;$ $C_{11} \cdot C_{22} \cdot C_{33} + 2C_{12} \cdot C_{13} \cdot C_{23} - C_{11} \cdot C_{23}^2 - C_{22} \cdot C_{13}^2 - C_{33} \cdot C_{12}^2 > 0.$

В статье были проведены оценки микротвердости в рамках модели Оганова [22]. Было обнаружено, что микротвердость по Викерсу равна 17.56 ГПа.

Заключение. Таким образом, методами, используемыми в Inverse HubWeb, USPEX, vaspkit, phonopy было установлено, что BЭС — CrMnFeCoNi относятся к стабильным и равновесным структурам. Методом Inverse HubWeb был обнаружен также среднеэнтропийный, однофазный ВЭС — MnFeCoNi, интервал стабильности которого составляет $\Delta T \approx \left(300-T_{\rm melt}\right)$ К. Интервал стабильности для CrMnFeCoNi составляет $\Delta T \approx \left(800-T_{\rm melt}\right)$ К. На основе кристаллографической базы ВЭС — CrMnFeCoNi, MnFeCoNi в коде USPEX были выделены ПК ГЦК, ОЦК равновесные решетки с P1. В рамках QHA-модели установлено, что среднеэнтропийный равновесный ВЭС — MnFeCoNi обладает меньшей удельной энергией при конечных температурах по сравнению с CrMnFeCoNi, он механически стабилен и обладает более высокими прочностными свойствами, которые практически в 1.5-2.0 раза превышают соответствующие значения для CrMnFeCoNi. Добавление Си в состав порошковых мишеней CrMnFeCoNi значительно усиливает трибологические характеристики — снижение коэффициента трения и повышение износостойкости.

Финансирование работы. Работа выполнена при финансовой поддержке Российского Научного Фонда (проект № 21-79-30007).

Конфликт интересов. Авторы заявляют, что у них нет конфликта интересов.

Информация о вкладе авторов. Изучение и анализ физико-механических и трибологических характеристик экспериментальных высокоэнтропийных вакуумных ионно-плазменных покрытий выполнено В. И. Колесниковым, И. В. Колесниковым, К. Н. Политыко. Исследование стабильности высокоэнтропийных покрытий проведено Ю. А. Абзаевым. Прогноз структур и их валидация осуществлены А. А. Гудой, В. И. Колесниковым, С. А. Гудой.

СПИСОК ЛИТЕРАТУРЫ

- 1. Cantor B., Chang I., Knight P., Vincent A. J.B. Microstructural development in equiatomic multicomponent alloys // Materials Science and Engineering A. 2023. V. A375–377. P. 213. https://doi.org/10.1016/j.msea.2003.10.257
- Gludovatz B., Hohenwarter A., Catoor D., Chang E. H., George E. P., Ritchie R. O. A fractureresistant high-entropy alloy for cryogenic applications // Science. 2014. V. 345 (6201). P. 1153. https://doi.org/10.1126/science.1254581
- 3. Otto F., Dlouhý A., Pradeep K. G., Kubenov M., Raabe D., Eggeler G., George E. P. Decomposition of the single-phase high-entropy alloy CrMnFeCoNi after prolonged anneals at inter-mediate temperatures // Acta Materialia. 2016. V. 112. P. 40. http://dx.doi.org/10.1016/j.actamat.2016.04.0051359—64542016
- Laplanche G., Gadaud P., Horst O., Otto F., Eggeler G., George E. P. Temperature dependencies of the elastic moduli and thermal expansion coefficient of an equiatomic, single-phase CoCrFeMnNi high-entropy alloy // J. of Alloys and Compounds. 2014. V. 623. P. 348. http://dx.doi.org/10.1016/j.jallcom.2014.11.061
- Sahlberg M., Karlsson D., Zlotea C., Jansson C. U. Superior hydrogen storage in high entropy alloys // Scientific Reports. 2016. V. 6. P. 36770. https://doi.org/10.1038/srep36770
- Senkov O.N., Wilks G.B., Scott J. M., Miracle D. B. Mechanical properties of Nb₂₅Mo₂₅Ta₂₅W₂₅ and V₂₀Nb₂₀Mo₂₀Ta₂₀W₂₀ refractory high entropy alloys // Intermetallics. 2011. V. 19 (5). P. 698. https://doi.org/10.1016/j.intermet.2011.01.004

- 7. *Li Z.*, *Pradeep K. G.*, *Deng Y.*, *Raabe D.*, *Tasan C. C.* Metastable high-entropy dual-phase alloys overcome the strength—ductility trade-off // Nature. 2016. V. 534. P. 227. https://doi.org/10.1038/nature17981
- Li R., Xie L., Wang W. Y., Liaw P. K., Zhang Y. High-Throughput Calculations for High-Entropy Alloys: A Brief Review // Front. Mater. 2020. V. 7. P. 12. https://doi.org/10.3389/fmats.2020.00290
- Lee K., Ayyasamy M. V., Delsa P., Hartnett T. O., Balachandran P. V. Phase classification of multiprincipal element alloys via interpretable machine learning // npj Comput Mater. 2022. V. 8 (25). P. 12. https://doi.org/10.1038/s41524-022-00704-v
- Abzaev Yu.A., Guda S.A., Guda A.A., Zelenkov A.A., Kolesnikov V. I. Structural Phase State of High-Entropy NbTiHfVZr Alloy // Physics of Metals and Metallography. 2023. V. 124 (8). P. 807.
- 11. Ivanov Yu.F., Abzaev Y.A., Gromov V.E., Konovalov S.V., Klopotov A.A., Semin A.P. Phase analysis and structural state of AlCoFeCrNi high-entropy alloy of non-equiatomic composition // AIP Con-ference Proceedings. 2022. V. 2509. P. 020087.
- 12. Evans D., Chen J., Bo-kas G., Chen W., Hautier G., Sun W. Visualizing temperature-dependent phase stability in high entropy alloys // Computational Materials. 2021. V. 7 (151). P. 1.
- 13. *Oganov A. R.*, *Glass C. W*. Crystal structure prediction using ab initio evolutionary techniques: Principles and applications // The Journal of Chemical Physics. 2006. № 124. 244704.
- 14. *Oganov A.R., Lyakhov A.O., Valle M.* How Evolutionary Crystal Structure Prediction Works-and why // Accounts of Chemical Research. 2011. № 44 (3). P. 227.
- Wang V., Xu N., Liu J.-C., Tang G., Geng W.-T. Vaspkit: A User-Friendly Interface Facilitating High-Throughput Computing and Analysis Using VASP Code // Computer Physics Communications. 2021. № 267. P. 108033. https://doi.org/10.1016/j.cpc.2021.108033
- 16. Togo A., Oba F., Tanaka I. First-Principles Calculations of the Ferroelastic Transition between Rutile Type and CaCl2-Type SiO₂ at High Pressures // Physical Review B. 2008. № 78 (3). P. 134106. http://dx.doi.org/10.1103/PhysRevB.78.134106
- 17. Головин Ю. И. Наноиндентирование и его возможности. М.: Машиностроение, 2009. 312 с.
- 18. ГОСТ 8.748—2011 (ИСО 14577—1:2002) Металлы и сплавы. Измерение твердости и других характеристик материалов при инструментальном индентировании. Часть 1: Метод испытаний.
- 19. Bäker M. Calculating phase diagrams with ATAT // arXiv: 1907.10151v1
- Zhang R. F., Zhang S. H., He Z. J., Jing J., Sheng S. H. Miedema Calculator: A thermodynamic platform for predicting formation enthalpies of alloys within framework of Miedema's Theory // Computer Physics Communications. 2016. V. 209. P. 58.
- 21. Kosmachev P. V., Abzaev Yu.A., Vlasov V. A. Quantitative phase analysis of plasma-treated high-silica materials // Russian Physics J. 2018. V. 61 (2). P. 264.
- 22. *Mazhnik E., Oganov A. R.* Application of machine learning methods for predicting new superhard materials // J. of Applied Physics. 2020. № 128. P. 075102.